

서 카메라는 그림 1.21-(a)와 동일한 영상을 생성하게 된다.

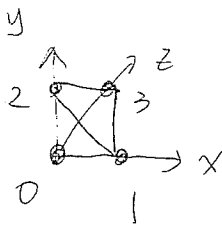
요약하면, 오른손 좌표계와 왼손 좌표계 간 포팅을 위해서는 두 가지 리모델링 작업, 즉 정점 재정렬 및 z 좌표 부호 변경 작업을 수행해야 한다. 이 중 z 좌표 부호 변경은 반드시 수행해야 하지만, 정점 재정렬은 피해 갈 수 있는 방법이 있다. 이에 대해서는 3.4 절에서 자세히 다루게 될 것이다.

실시간 그래픽스의 양대 API인 OpenGL과 Direct3D는 서로 다른 좌표계를 사용한다. OpenGL은 오른손 좌표계를, Direct3D는 왼손 좌표계를 사용한다. 얼핏 보면 단순히 보이는 이 차이는 초보 프로그래머에게 상당히 커다란 혼란을 일으키곤 했다. 하지만 'GPU 프로그래밍'이 가능해지면서 이 혼란의 정도는 상당히 누그러졌다. 예를 들어, 이제는 Direct3D 상에서 오른손 좌표계를 사용해도 된다. 이에 대해서는 2장 이후 자세히 다루게 될 것이다.

이 책은 기본적으로 오른손 좌표계를 사용한다. 보통의 독자들이 오른손 좌표계에 더 익숙하기 때문이다. 따라서, 삼각형 정점은 특별한 언급이 없는 한 항상 반시계 방향으로 정렬될 것이다.

연습문제

1. 닫힌 3차원 폴리곤 메쉬 중 가장 간단한 것은 사면체(tetrahedron)이다. 이를 구성하는 네 개의 정점이 $(0,0,0)$, $(1,0,0)$, $(0,1,0)$, $(0,0,1)$ 이라고 가정하자. 이 사면체의 삼각형 노멀은 사면체 외부를 향해야 한다.



- (a) 이 사면체가 오른손 좌표계에서 사용된다고 가정하고, 인덱스 삼각형 리스트의 정점 버퍼 및 인덱스 버퍼를 도시하라.

- (b) 이 사면체가 왼손 좌표계에서 사용된다고 가정하고, 인덱스 삼각형 리스트의 정점 버퍼 및 인덱스 버퍼를 도시하라.

2. 닫힌 삼각형 메쉬에서 v , e , f 가 각각 메쉬의 정점, 변, 면의 개수를 나타낸다고 하자. [노트: 삼각형 메쉬에서의 정점-삼각형 비율]에서 우리는 $f = 2v - 4$ 임을 밝혔다. 이와 마찬가지로 v 와 e 간 관계를 정의하라.

3. ATVR은 average transform to vertex ratio의 약자로, 정점당 평균 몇 번의 처리 단계를 거치는지 측정한다(이는 ACMR과 다르다).

- (a) 메쉬의 삼각형이 최적으로 정렬되었을 때 ATVR 값은 얼마인가?

$$\sqrt{1-\sqrt{3}} = \sqrt{1-\frac{1}{2}(\sqrt{3}+1)} = \sqrt{\frac{1}{2}(2-\sqrt{3}-1)} = \sqrt{\frac{1}{2}(1-\sqrt{3})} = \sqrt{3}-1$$

연습문제

1. 2차원에서 (원점 대신) 특정 점 (a,b) 를 중심으로 θ 만큼 회전하는 아핀 변환 행렬을 계산하라.

2. 선형대수에서 회전 행렬의 역행렬은 그 전치 행렬과 같다(이는 증명 가능하다). 두 개의 비표준 직교 정규 기저 $\{a,b,c\}$ 와 $\{d,e,f\}$ 가 주어졌을 때, $\{a,b,c\}$ 에서 정의된 벡터를 $\{d,e,f\}$ 에서 정의된 벡터로 변환하는 3×3 행렬을 계산하라.

3. 세 개의 직교 정규 벡터 a, b, c 가 있고, a, b, c 간에는 $a \times b = c$ 관계가 성립한다. 또한, a, b, c 중 어느 것도 표준 기저의 벡터와 일치하는 것은 없다. 벡터 a, b, c 를 기준으로 하는 축소확대 행렬을 계산하고자 한다. 각 벡터에 대한 축소확대 인자는 각각 s_a, s_b, s_c 로 표기한다. 이 축소확대 행렬은 통상 세 개의 3×3 행렬 곱으로 표현된다. 각각의 3×3 행렬을 계산하라.

4. 뷰 변환은 이동과 회전에 구성된다. 카메라 파라미터는 다음과 같다.

$$\text{EYE} = (0, 0, -\sqrt{3}), \text{AT} = (0, 0, 1), \text{UP} = (-10, 0, 1).$$

(a) 이동 행렬을 계산하라.

(b) 회전 행렬을 계산하라.

5. 우리는 2.4.3절에서 투영 변환 이후의 z 범위가 $[-1, 0]$ 임을 가정하고 투영 행렬을 유도하였다. 하지만, OpenGL에서 z 범위는 $[-1, 1]$ 이다. 식 (2.27)의 OpenGL 투영 행렬을 유도하라.

$$T = \begin{pmatrix} 1 & 0 & 0 & 0 \\ 0 & 1 & 0 & 0 \\ 0 & 0 & 1 & \sqrt{3} \\ 0 & 0 & 0 & 1 \end{pmatrix}$$

$$n = (0, 0, -\sqrt{3} + 1)$$

$$N = \begin{pmatrix} 0 & 0 & -\sqrt{3} + 1 \\ 0 & 0 & -\sqrt{3} + 1 \end{pmatrix}$$

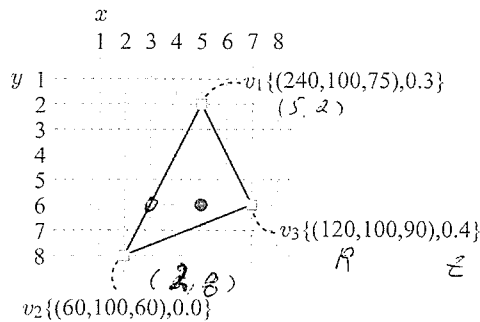
$$UP \times n = \begin{pmatrix} -10 & 0 & 1 \\ 0 & 0 & -1 \end{pmatrix}$$

$$= \begin{pmatrix} 0 & -10 & 0 \\ 0 & -10 & -\sqrt{3} \end{pmatrix}$$

$$N = \begin{pmatrix} 0 & -1 & 0 \end{pmatrix}$$

연습문제

1. 뷰포트의 모서리 점이 (10, 20, 1)과 (100, 200, 2)로 주어졌다. 뷰포트 변환은 반사, 축소 확대, 이동 변환으로 구성된다.
- 반사 행렬을 계산하라.
 - 축소 확대 행렬을 계산하라.
 - 이동 행렬을 계산하라.
2. 스크린 공간에 다음과 같은 삼각형이 있다. 정점별 속성은 $\{(R, G, B), z\}$ 이다. 픽셀 좌표 (5, 6)에서의 R 과 z 를 계산하라.



$$\Delta y = 6$$

$$\Delta R = 750$$

$$\Delta z = -0.3$$

$$\frac{\Delta R}{\Delta y} = -30$$

$$\frac{\Delta z}{\Delta y} = -\frac{0.3}{6} R_2 = R_1 + 4^{\frac{x-30}{2}} = 240 - 120 - 120 \quad \left(\frac{z}{2} = 0.1 \right)$$

$$= -0.05$$

3. 그림 3.18에 도시된 카메라 공간 광선의 시작점 $(x_c, y_c, -n)$ 을 다른 방법을 사용해 계산해 보자.

(a) 뷰포트 변환의 역변환을 (x_s, y_s) 에 적용하여 NDC로 표현된 클립 공간에서의 광선 시작점을 계산하라.

(b) (a)의 결과는 식 (3.4)의 점과 같아야 한다는 사실을 이용하여 x_c 와 y_c 를 계산하라.

$$\frac{R}{2} = 120$$

$$\frac{z}{2} = 0.25$$

z-컬링은 그 의미가 없어진다. 이런 경우, z-컬링은 자동으로 생략된다. 참고문헌 [12, 13]에서 z-컬링이 생략되는 여러 가지 경우를 확인할 수 있다. Z-컬링을 이용해 렌더링 성능을 향상하기 위해서는 어떤 경우에 z-컬링이 생략되는지, 그리고 생략되지 않더라도 어떤 경우에 z-컬링이 제 성능을 발휘하지 못하는지 이해할 필요가 있다.

4.3.2 응용 사례: 프리-z 패스

Z-컬링 기능을 최대한 활용하고자 하는 목적으로 이른바 프리-z 패스(pre-z pass)라 불리는 알고리즘이 제안되었다. 이는 두 번의 렌더링 과정을 거치는 투패스 알고리즘(two-pass algorithm)이다. 첫 번째 패스에서는 조명이나 텍스처링을 수행하지 않고 오로지 z-버퍼만 채운다. 컬러 버퍼는 채워지지 않는다. 즉, 모든 픽셀에 대해 카메라로부터 가장 가까운 물체 표면의 깊이 값만을 저장하고 첫 패스는 종료된다.

이렇게 만들어진 z-버퍼를 사용하여 두 번째 패스에서는 통상적인 렌더링을 수행한다. 그러면 z-컬링은 현재 z-버퍼에 의해 가려지는 프래그먼트를 걸러낸다. 따라서 두 번째 패스에서 오버드로우는 1에 접근하게 된다. 만약 프래그먼트 프로그램이 복잡한 연산을 수행한다면, 이같은 프리-z 패스 알고리즘은 전체적인 성능 향상에 큰 도움을 줄 것이다.

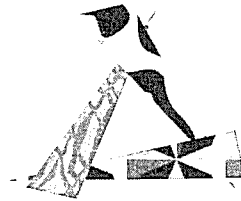
그림 4.12의 장면에 대해 프리-z 패스 알고리즘을 수행하는 실험을 하면서, 물체들을 일부러 뒤에서부터 앞으로 정렬했는데도 불구하고, 물체를 앞에서부터 뒤로 정렬한 상태에서 수행한 단일 패스 알고리즘보다 빠른 렌더링 속도를 보였다(물론, 물체를 앞에서부터 뒤로 정렬한 상태에서 프리-z 패스 알고리즘을 수행하면, z-버퍼 쓰기 연산이 줄어들게 되므로 속도는 더 빨라진다). 10.5절은 프리-z 패스 알고리즘과 관련 있는 다른 기법을 소개한다.

연습문제

1. 하나의 픽셀을 놓고 경쟁하는 다섯 개의 삼각형이 이 픽셀 위치에서 서로 다른 깊이 값을 가지고 있다고 하자. 만약 삼각형들이 임의의 순서로 처리된다면, 이 픽셀에 대해 평균 몇 번의 z-버퍼 쓰기 연산이 수행되는가?

2. 하나의 픽셀을 놓고 경쟁하는 세 개의 삼각형이 이 픽셀 위치에서 다음과 같은 RGBA 색상과 z 값을 가지고 있다: $\{(1,0,0,0.5), 0.25\}$, $\{(0,1,0,0.5), 0.5\}$, $\{(0,0,1,1), 0.75\}$. 삼각형은 뒤에서부터 앞으로 차례차례 처리된다. 픽셀의 최종 색상을 계산하라.

3. 아래 그림과 같이 삼각형 세 개가 겹쳐져 있다.



- (a) 삼각형 세 개가 모두 반투명하다고 가정하자. 임의의 삼각형부터 시작해 시계 방향으로 이들을 처리할 경우, 렌더링 결과를 도식하라.
- (b) 렌더링 결과에 어떤 문제가 있는가? 그리고 이를 해결하기 위한 방안은 무엇인가?

4. 야외 장면의 현실감을 높이기 위해 안개(fog)를 사용할 때, 종종 다음과 같은 블렌딩 기법을 사용한다.

$$c = fc_f + (1 - f)c_o$$

여기에서 c 는 최종 색상이고, f 는 카메라로부터 거리가 멀어질수록 안개가 짙어지는 정도를 나타내며, c_f 는 안개의 색상이고, c_o 는 물체의 색상이다. 가장 간단한 선형 안개(linear fog)를 구현하는 방법은, 뷰 프러스텀 내부에 안개가 고루 분포되게 하는 것인데, 전방 평면에 위치한 물체는 선명하게 보이고 후방 평면에 위치한 물체는 완전히 안개에 가려 보이지 않게 할 수 있다. 이 같은 선형 안개 구현을 위한 f 값을 원점에서 전방 평면까지의 수직 거리 N 과 후방 평면까지의 수직 거리 F 의 함수로 정의하라.

$$f(N) = \frac{F - N}{F - N}$$

$$a \cdot N + b = 0$$

$$a \cdot F + b = 1$$

$$f(N) = \frac{F - N}{F - N}$$

$$a(F - N) = 1$$

$$a = \frac{1}{F - N}$$

$$b = \frac{-N}{F - N}$$

$$\frac{1}{N - F} \cdot N = \frac{-F}{N - F}$$

$$N - F = F - N$$

$$(10-t)^2 + 1 = 4$$

$$t^2 - 20t + 97 = 0$$

표면으로 렌더링하는 작업은 큐브맵 제작 과정과 유사성을 가진다.

래디오시티 알고리즘은 실시간에 구현하기에 연산량이 너무 많다. 따라서, 실시간 그래픽스의 경우, 보통 전처리 단계에서 이를 실행하여 그 결과를 텍스처에 저장한 후, 런타임에 이 텍스처를 사용한다. 이러한 텍스처를 라이트맵(light map)이라고 부르는데, 이를 사용한 알고리즘은 10.2.2절에 소개된다.

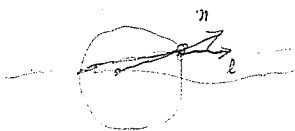
연습문제

1. 식 (5.11)은 하나의 평행 광원을 가정하여 정의되었다.
 - (a) 여러 개의 평행 광원을 다룰 수 있도록 식 (5.11)을 수정하라.
 - (b) 평행 광원을 점 광원으로 대체할 경우, 식 (5.11)을 어떻게 수정할 것인가?

2. 식 (5.7)과 (5.12)는 작은 차이를 가진다. 무엇 때문에 이 차이가 발생했는가?

3. 반지름이 l 이고 중심이 원점인 구에 광선 추적법을 적용해 보자.

- (a) 광선이 $(10, 1, 0)$ 에서 $(-1, 0, 0)$ 방향으로 발사되었다. 이 광선을 t 에 대한 매개변수 방정식으로 표현하라. $x(t) = 10 - 11t$, $y(t) = 1 - t$, $z(t) = 0$
- (b) 구를 음함수로 표현한 후, 광선의 매개변수 방정식을 이용하여 구와 광선의 교차점을 계산하라.
- (c) 반사 벡터를 계산하기 위해서는 교차점에서의 노멀이 필요하다. 본 문제에서는 노멀을 쉽게 계산할 수 있다. 어떻게 계산할 것인가?
- (d) 반사 벡터를 계산하라.



$$x^2 + y^2 + z^2 = 4$$

$$\begin{aligned} d &= (-1, -1, 0) \\ x(t) &= 10 - 11t \\ y(t) &= 1 - t \\ z(t) &= 0 \end{aligned}$$

$$(10-11t)^2 + (1-t)^2 = 4$$

$$\begin{aligned} 122t^2 - 220t + 100 \\ + t^2 - 2t + 1 &= 4 \end{aligned}$$

$$122t^2 - 222t + 100 = 4$$

$$122t^2 - 222t + 96 = 0$$

$$t = \frac{222 \pm \sqrt{222^2 - 4 \cdot 122 \cdot 96}}{2 \cdot 122}$$

$$r = 2\pi(n \cdot l) - l$$

$$n = \left(\frac{1220 - 1100}{122}, \frac{22}{122}, 0 \right)$$

가 되는데, v 를 $(1-w)$ 로 대체하면 이는 $(1-w)^2d + 2w(1-w)e + w^2f$ 로 바꿔 쓸 수 있다. 이것은 바로 2차 베지어 곡선의 식으로 그림 6.18-(f)의 아래쪽 모서리를 표현한다. 이 모서리는 오로지 d, e, f 에 의해 정의되는 곡선임을 이해하자. 즉 베지어 패치처럼 베지어 삼각형에서도 곡면의 경계는 컨트롤 포인트 망의 경계에 놓인 컨트롤 포인트에 의해서만 정의된다.

3차 베지어 삼각형은 그림 6.19-(a)에 보인 바와 같이, 2차 베지어 삼각형을 위한 컨트롤 포인트 망의 모서리에 하나씩 컨트롤 포인트를 추가하여 정의된다. 한편, 컨트롤 포인트 망 구조를 일관되게 만들기 위해서는 내부에 새로운 컨트롤 포인트 e 를 추가해야 한다. 각각의 컨트롤 포인트는 가중치를 할당받는데 이는 u, v, w 의 함수로 표현된다. 이 가중치는 그림 6.19-(b)에 도시된 것처럼 반복적 무게중심 보간 기법을 통해 계산된다.

$$B_k^n = n \binom{n-1}{k} t^k (1-t)^{n-1-k}$$

$$\begin{pmatrix} (1-v)^3 & 3v(1-v)^2 & 3v^2(1-v) & v^3 \end{pmatrix} \begin{pmatrix} p_{00} & p_{01} & p_{02} \\ p_{10} & p_{11} & p_{12} \\ p_{20} & p_{21} & p_{22} \\ p_{30} & p_{31} & p_{32} \end{pmatrix} \begin{pmatrix} (1-u)^3 \\ 3u(1-u)^2 \\ 3u^2(1-u) \\ u^3 \end{pmatrix}$$

연습문제

- 한 베지어 패치가 u 기준으로는 2차, v 기준으로는 3차로 정의되었다. 컨트롤 포인트 행렬은 다음과 같다.

$$\begin{pmatrix} p_{00} & p_{01} & p_{02} \\ p_{10} & p_{11} & p_{12} \\ p_{20} & p_{21} & p_{22} \\ p_{30} & p_{31} & p_{32} \end{pmatrix} = \begin{pmatrix} (0, 0, 4) & (0, 3, 4) & (0, 6, 4) \\ (3, 0, 0) & (3, 3, 0) & (3, 6, 0) \\ (6, 0, 0) & (6, 3, 0) & (6, 6, 0) \\ (5, 0, 4) & (5, 3, 4) & (5, 6, 4) \end{pmatrix}$$

- $(u, v) = (0, 1)$ 일 때 곡면의 점을 계산하라.
- $(u, v) = (0.5, 0.5)$ 일 때 곡면의 점을 계산하라.

- 세 개의 점 $\{(1, 0), (0, 1), (-1, 0)\}$ 이 주어졌다.

- 이 점 모두를 지나는 2차 베지어 곡선이 있는데, $(0, 1)$ 에서의 매개변수 t 는 0.5이다. 이 베지어 곡선을 계산하라.

- 매개변수 t 가 0.75가 되는 점의 (x, y) 좌표를 계산하라.

- 2차 베지어 곡선 $p(t)$ 를 따라 이동하는 카메라가 있다. 이 베지어 곡선의 컨트롤 포인트는 p_1, p_2, p_3 이다. EYE는 곡선 $p(t)$ 에 놓이고, AT은 원점과 p_4 를 연결하는 선분을 따라 움직인다. UP은 월드 공간의 y 축으로 고정되어 있다.

$$p_1 = (0, 2)$$

$$u = v_1 \times n = \frac{\begin{vmatrix} 0 & 1 & 0 \\ \frac{1}{\sqrt{2}} & -\frac{1}{\sqrt{2}} & 0 \end{vmatrix}}{\| \begin{vmatrix} 0 & 1 & 0 \\ \frac{1}{\sqrt{2}} & -\frac{1}{\sqrt{2}} & 0 \end{vmatrix} \|} = \frac{(0, 0, -\frac{1}{\sqrt{2}})}{\| (0, 0, -\frac{1}{\sqrt{2}}) \|} = (0, 0, -1)$$

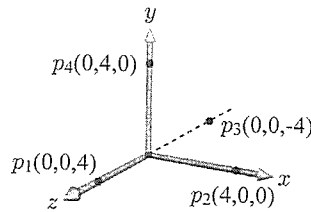
160 게임 프로그래밍을 위한 3차원 그래픽스

$$n = \frac{EY E - AT}{\| EY E - AT \|} = \frac{(2, -2, 0)}{\| (2, -2, 0) \|} = (\frac{1}{\sqrt{2}}, -\frac{1}{\sqrt{2}}, 0)$$

$$u = \frac{v_1 \times n}{\| v_1 \times n \|} = (0, 0, -1)$$

$$v = n \times u = (\frac{1}{\sqrt{2}}, \frac{1}{\sqrt{2}}, 0)$$

$$EY E p(t) = (2, 0, 0)$$



$$V = n \times u = \frac{\begin{vmatrix} i & j & k \\ \frac{1}{\sqrt{2}} & -\frac{1}{\sqrt{2}} & 0 \\ 0 & 0 & -1 \end{vmatrix}}{\| \begin{vmatrix} i & j & k \\ \frac{1}{\sqrt{2}} & -\frac{1}{\sqrt{2}} & 0 \\ 0 & 0 & -1 \end{vmatrix} \|} = (\frac{1}{\sqrt{2}}, \frac{1}{\sqrt{2}}, 0)$$

$AT p(0.5) = (0, 2, 0)$ (a) $p(t)$ 와 $q(t)$ 모두 $[0, 1]$ 의 범위를 가지는 매개변수 t 에 의해 정의된다. $t=0.5$ 일 때 $p(t)$ 와 $q(t)$ 를 계산하라.

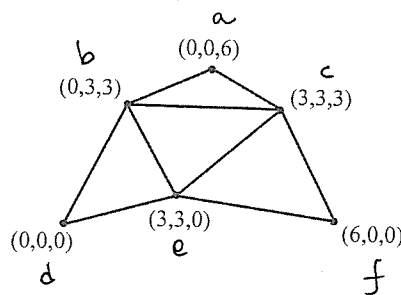
$$Up(0, 1, 0)$$

(b) $t=0.5$ 일 때 카메라 공간의 uvn 축을 계산하라.

(c) $t=0.5$ 일 때의 뷰 행렬을 구성하는 4×4 이동 및 회전 행렬을 계산하라.

$$\text{이동} \begin{pmatrix} 1 & 0 & 0 & -2 \\ 0 & 1 & 0 & 0 \\ 0 & 0 & 1 & 0 \\ 0 & 0 & 0 & 1 \end{pmatrix} \quad \text{회전} \begin{pmatrix} \frac{1}{\sqrt{2}} & \frac{1}{\sqrt{2}} & -1 & 0 \\ \frac{1}{\sqrt{2}} & -\frac{1}{\sqrt{2}} & 0 & 0 \\ 0 & 0 & 0 & 1 \end{pmatrix}$$

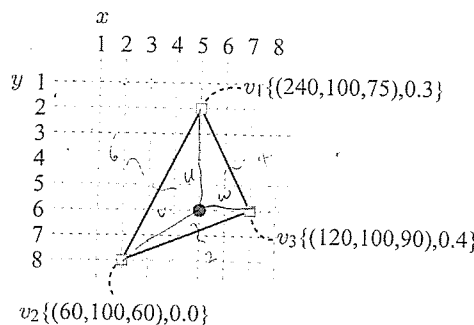
4. 아래와 같은 컨트롤 포인트 망을 가지는 2차 베지어 삼각형에서, $(u, v) = (\frac{1}{3}, \frac{1}{3})$ 일 때 곡면상의 3차원 점을 계산하라.



$$u + v + w = 1$$

$$S = u^2 a + 2uvb + 2wuc + v^2 d + 2vwe + w^2 f$$

5. 아래 그림과 같은 스크린 공간 삼각형의 각 정점은 $\{(R, G, B), z\}$ 속성을 가진다.



$$u = \frac{\text{area}(p, v_2, v_3)}{\text{area}(v_1, v_2, v_3)}$$

$$= \frac{2}{2 + 4 + 6} = \frac{1}{6}$$

$$v = \frac{4}{12} = \frac{1}{3}$$

$$w = \frac{6}{12} = \frac{1}{2}$$

$$(u, v, w)$$

(a) 삼각형 내부의 점 (5, 6)이 v_1, v_2, v_3 에 대해 가지는 무게중심 좌표를 계산하라.

(b) 이 무게중심 좌표를 사용하여 (5, 6)에서의 R 과 z 를 계산하라.

$$\begin{aligned} P(R) &= \frac{1}{6} \times 240 + \frac{2}{6} \times 60 + \frac{3}{6} \times 120 \\ &= 40 + 20 + 60 \\ &= 120 \end{aligned}$$

그림 8.10-(a)에서와 같이 l_x 가 l_y 보다 클 때, 등방형 발자국의 샘플 점은 비등방형 발자국의 x 방향을 따라 일정 거리만큼 떨어져 분포한다. 등방형 발자국의 필터링 함수를 $\tau(t_x, t_y)$ 로 표기하면, 비등방형 필터링 결과는 다음과 같다.

$$\frac{1}{N} \sum_{i=1}^N \tau(t_x^0 + \frac{\partial t_x}{\partial x}(\frac{i}{N+1} - \frac{1}{2}), t_y^0 + \frac{\partial t_y}{\partial x}(\frac{i}{N+1} - \frac{1}{2})) \quad (8.3)$$

여기에서 (t_x^0, t_y^0) 는 픽셀 중심의 텍셀 주소를 나타낸다. 그림 8.10의 예에서 (t_x^0, t_y^0) 는 (3.5, 3.5)이고, 0번 레벨에서의 세 샘플 점 좌표는 $\{(2.0, 2.75), (3.5, 3.5), (5.0, 4.25)\}$ 이며, τ 는 이 세 점 각각에 대해 삼선형 보간을 수행한다.

만약 l_x 가 l_y 보다 작다면 식 (8.3)에서 ∂x 는 ∂y 로 대체되고, 이에 따라 우리는 다음과 같은 식을 얻게 된다.

$$\frac{1}{N} \sum_{i=1}^N \tau(t_x^0 + \frac{\partial t_x}{\partial y}(\frac{i}{N+1} - \frac{1}{2}), t_y^0 + \frac{\partial t_y}{\partial y}(\frac{i}{N+1} - \frac{1}{2}))$$

마지막으로 이미지 텍스처링이 조명(lightning)과 어떻게 결합되는지 살펴보자. 조명을 위해 다음과 같은 Phong 모델이 사용된다고 하자(이는 식 (5.11)과 동일하다).

$$\max(n \cdot l, 0) s_d \otimes m_d + (\max(r \cdot v, 0))^{sh} s_s \otimes m_s + s_a \otimes m_a + m_e$$

이 식에서 디퓨즈 계수 m_d 는 이미지 텍스처에서 가져온 색상 값이 된다. 5.1.2절에서 논한 바와 같이, 스페큘러 계수 m_s 는 별도의 텍스처에서 읽어올 수 있는데, 이 텍스처는 대개 회색조(gray-scale)로 구성된다.

연습문제

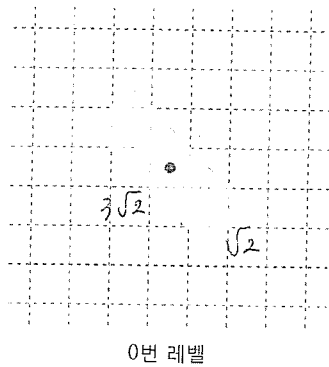
- 다음 페이지 그림과 같은 8×8 크기의 텍스처에 픽셀이 투영되었다고 하자. 왼쪽 그림은 0번 레벨 텍스처에서의 픽셀 발자국과 그 중심을 보여준다.
 - 이미지 텍스처가 회색조라고 가정하자. 오른쪽 그림은 mip맵의 0번과 1번 레벨 텍스처를 보여준다. 이와 같은 방식으로 2번과 3번 레벨 텍스처를 도시하라.
 - 삼선형 보간 기법으로 mip맵을 필터링하고, λ 계산을 위해 픽셀 발자국의 긴 변 길이를 사용한다고 가정하자. 이 예에서는 어떤 레벨이 선택되는가? 각 레벨에서의 필터링 결과를 계산하라.

$$\log_2(3\sqrt{2})$$

$$= \log_2(3 \times 1.414)$$

$$= \log_2(4.242)$$

$$= 2.08$$



| | | | | | | | | | | | |
|---|---|---|---|---|---|---|---|-------|---|---|---|
| 9 | 9 | 9 | 9 | 9 | 7 | 0 | 1 | 9 | 9 | 8 | 3 |
| 9 | 9 | 9 | 9 | 7 | 9 | 8 | 3 | 6 | 8 | 3 | 2 |
| 6 | 5 | 8 | 9 | 2 | 3 | 2 | 1 | 7 | 2 | 1 | 2 |
| 5 | 8 | 8 | 7 | 7 | 0 | 4 | 1 | 6 | 9 | 2 | 3 |
| 7 | 8 | 1 | 1 | 1 | 1 | 3 | 3 | 1번 레벨 | | | |
| 8 | 5 | 1 | 5 | 1 | 1 | 0 | 2 | | | | |
| 4 | 9 | 9 | 9 | 1 | 2 | 4 | 8 | | | | |
| 8 | 3 | 9 | 9 | 4 | 1 | 0 | 0 | | | | |

| | |
|---|---|
| 8 | 7 |
| 6 | 2 |

5 3

(c) 비등방형 필터링이 사용되고, λ 계산을 위해 픽셀 발자국의 짧은 변 길이를 사용한다고 가정하자. 어떤 레벨이 선택되는가? 왼쪽 그림의 발자국 중심점을 샘플 점으로 취급하여, 각 레벨에서의 필터링 결과를 계산하라(각 레벨에서는 겹선형 보간 기법을 사용하라).

$$\log_2 \sqrt{2} = 0.5$$

2. 텍스처 좌표 u 가 $[0,1]$ 의 범위를 벗어난다고 가정하자. 텍스처 어드레싱 모드가 '반복 모드'로 설정된 경우, 주어진 u 를 $[0,1]$ 범위 안으로 변환하는 식을 정의하라.

$$u' = u - \lfloor u \rfloor$$

$$\begin{aligned} 1.1 &\rightarrow 0.1 \\ 1.2 &\rightarrow 0.2 \end{aligned}$$

3. 의료 영상과 같은 응용 분야에서는 종종 3차원 텍스처링이 필요하다. $2^l \times 2^l \times 2^l$ 해상도를 가지는 3차원 이미지를 생각해 보자. 3차원 텍스처 좌표 (u, v, w) 는 텍셀 주소 (t_x, t_y, t_z) 로 매핑되었다고 가정하자.

(a) 2차원 이미지 텍스처가 주어졌을 때, 우리는 통상 근접점 샘플링 혹은 겹선형 보간 기법 중 하나를 택한다. 근접점 샘플링을 3차원 텍스처에 적용하기 위해, (t_x, t_y, t_z) 를 어떻게 변환하는지 기술하라.

(b) 겹선형 보간 기법을 3차원 텍스처에 적용하기 위해, (t_x, t_y, t_z) 를 어떻게 변환하는지 기술하라.

(c) 3차원 이미지 텍스처로 맵을 만들어 보자. 다운샘플링을 어떻게 수행할 것인지 기술하라. 맵의 최상위 노드의 해상도는 얼마인가? 맵은 총 몇 개의 레벨로 구성되는가?

연습문제

1. 그림 9.6과 달리, 한 점을 공유하는 삼각형들의 노멀을 사용해 그 점의 노멀을 계산하는 알고리즘을 기술하라. p17 (12) 2월 1.19 모든 삼각형 노멀의 평균
2. 그림 4.5-(a)에 보인 원통 및 그 파라미터화 결과를 보자. 원통의 축이 좌표계의 y 축과 같다는 가정하에 원통의 각 정점 (x, y, z) 에 대해 어떻게 탄젠트 공간을 정의할 것인지 기술하라. 단, 한 정점의 탄젠트 공간 계산 시 주위 정점 정보를 사용할 수 없다.
3. 이 장에서 기술한 패럴랙스 매핑 알고리즘은 일정 간격으로 광선을 샘플링한다. 하지만 이러한 이산적 광선 추적 기법은 종종 광선과 하이트 필드 간 교차점을 놓칠 수 있다. 언제 그러한 경우가 발생하는지, 그리고 이를 해결하는 방법은 어떤 것이 있는지 기술하라.

| | R16 | G16 | B16 | A16 |
|-----|---------|-----|-----|------|
| RT0 | 발산광 색상 | | | |
| RT1 | 노멀 | | | 깊이 값 |
| RT2 | 디퓨즈 색상 | | | AO |
| RT3 | 스페큘러 색상 | | | |

[그림 10.24] 스타크래프트 2에서 사용된 G-버퍼는 네 개의 렌더 타겟으로 구성된다[35]. 정적인 환경에서 계산된 앰비언트 오클루전은 AO로 표기되었는데, SSAO가 사용될 경우 이는 사용되지 않는다.

미뤄진 셰이딩은 많은 대작 게임에서 성공적으로 구현되었다. 그림 10.24는 스타크래프트 2에서 사용된 G-버퍼의 구성을 보여주는데, 각 텍스처는 네 개의 채널을 가지고 있고 각 채널은 16비트 부동 소수점 형식을 가진다.

연습문제

- 셰이더를 사용하여 동적으로 큐브맵을 생성하는 것을 고려하자. 장면의 프리미티브들은 기하 셰이더에 의해 복사되고 변환된다. 기하 셰이더는 for 루프를 여섯 번 순환하는데 각 순환 단계에서 뷰 및 투영 변환을 프리미티브에 적용한다.
 - 각 순환 단계마다 뷰 변환은 같은가 다른가? 그 이유를 설명하라. *EYE AT UP*
 - 각 순환 단계마다 투영 변환은 같은가 다른가? 그 이유를 설명하라. *fov aspect, m, f*
- 그림 10.7-(c)에 보인 바와 같이 라이트 매핑은 대개 이미지 텍스처링과 결합된다.
 - 그런데 이러한 결합 결과 자체를 라이트맵에 저장하면 런타임 성능을 향상할 수도 있을 것이다. 하지만, 이는 몇 가지 문제점을 가지고 있으므로 실제 사용되지 않는다. 어떤 문제점이 있는가? *(n.l)sd ⊗ md* *라이트 맵 이미지 텍스처* *라이트맵을 통해*
 - 라이트 매핑은 종종 다크 매핑(dark mapping)이라고 풍자되는데, 이는 라이트 매핑을 수행한 후 이미지 텍스처 색상이 더 어두워졌기 때문이다. 왜 이런 문제가 발생하는가? 이 문제를 어떻게 해결할 수 있을까? *동적 조명* *grayscale? [0, 1]*
- 쉐도우 매핑을 부적절하게 수행했을 때 부딪힐 수 있는 문제 중 하나는 이른바 피터 팬 효과(Peter Panning)라는 것인데, 렌더링 결과 생성된 영상에서 그림자를 만드는 물체가 그림자와 붙어 있지 않고 분리되어 나타나는 것을 말한다. 즉, 물체가 피터팬처럼 날아다니는 느낌을 준다. 왜 이런 문제가 발생하는가? *depth offset* *blitter precision*

범위는 넓다. 캐릭터가 이리저리 움직이는 물체를 응시하도록 할 때에는 IK가 캐릭터의 머리 뼈에 적용된다. 그림 11.22에서는 팔뿐 아니라 머리에도 IK가 적용되었고, 이에 따라 군인이 날아가는 공을 응시하게 된 것이다. 슈팅게임에서 군인이 적에게 총을 겨누도록 하는데 역시 IK가 사용된다.

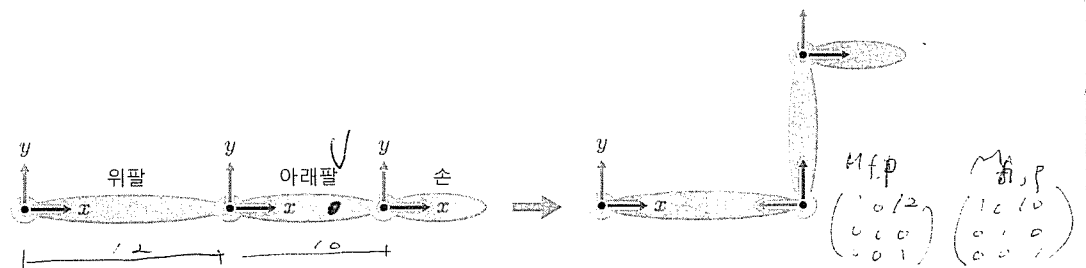
$$\begin{pmatrix} \cos\theta & -\sin\theta \\ \sin\theta & \cos\theta \end{pmatrix}$$

$$M_{f,l}^{90^\circ} = \begin{pmatrix} 0 & -1 \\ 1 & 0 \\ 0 & 0 & 1 \end{pmatrix}$$

$$M_{h,l}^{-90^\circ} = \begin{pmatrix} 0 & 1 \\ -1 & 0 \\ 0 & 0 & 1 \end{pmatrix}$$

연습문제

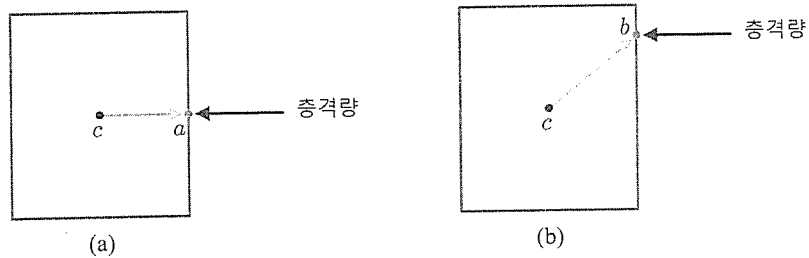
- 아래에서 왼쪽 그림은 팔의 초기 자세를 보여준다. 문제를 간단히 하기 위해, 위팔의 뼈 공간을 월드 공간이라 부르자. 아래팔과 손의 뼈 공간 원점은 월드 공간 기준으로 각각 (12,0)과 (22,0)이다. 드레스 포즈의 아래팔이 90° , 손이 -90° 회전하여 오른쪽에 보인 애니메이션 포즈를 만들었다.



- 드레스 포즈에서 아래팔과 손의 부모 변환 행렬 $M_{f,p}$ 과 $M_{h,p}$ 를 계산하라.
- 드레스 포즈에서 아래팔과 손의 월드 변환 행렬 $M_{f,d}$ 과 $M_{h,d}$ 를 계산하라. $(11, 20)$
- $M_{f,d}^{-1}$ 과 $M_{h,d}^{-1}$ 을 계산하라. $M_{u,w} = M_{u,d} = I$
- 아래팔과 손의 애니메이션을 묘사하는 지역 변환 행렬 $M_{f,l}$ 과 $M_{h,l}$ 을 계산하라. $(M_{f,p}^{-1} M_{u,d}^{-1}) (M_{h,p}^{-1} M_{u,d}^{-1})$
- 애니메이션 포즈에서 아래팔과 손의 월드 변환 행렬 $M_{f,w}$ 과 $M_{h,w}$ 를 계산하라. $(11, 24)$
- 아래팔의 뼈 공간에서 (8,0)의 좌표를 가지는 정점 v 를 생각해 보자. 이는 아래팔과 손에 의해 영향받는다. 두 뼈의 블렌딩 가중치는 동일하다. 스키닝 알고리즘을 사용하여 애니메이션 포즈에서 v 의 월드 공간 좌표를 계산하라.

$$0.5 M_{f,w} v_f + 0.5 M_{h,w} v_h \quad v_f(8,0) \quad v_h(-2,0) \quad (11, 27) \text{ 결과}$$

- 그림 11.22에서 날아가는 공을 캐릭터가 응시하도록 하기 위해 머리뼈와 목뼈를 잇는 관절을 사용하도록 하자.
 - 이 관절의 자유도는 몇인가? 3 자유도
 - 머리뼈를 회전시켜 공을 응시하도록 하는 해석적 기법의 알고리즘을 기술하라.



[그림 12.14] 무게 중심은 c 로 표기되었고, a 와 b 는 접촉점을 나타낸다. (a) 각가속도가 생성되지 않았으므로, 물체는 충돌 이후에 회전하지 않는다. (b) 각가속도가 생성되어 물체는 충돌 이후에 회전한다.

도는 다시 적분되어 물체 방향(orientation)의 변화량을 결정한다. 따라서 그림 12.14-(b)의 사각형은 그림 12.14-(a)의 경우와 달리 충돌 후 회전하게 된다. 그림 12.8에서도 충돌 해결 모듈은 각가속도를 계산하였고, 그 결과 충돌 이후의 물체는 회전하면서 멀어지게 되었던 것이다.

연습문제

- 그림 12.6에서 B_2 가 충돌 전 $(8, 0)$ 의 속도로 움직일 경우, B_1 과 B_2 의 충돌 이후 속도를 계산하라.
 B_1 충돌 후 속도 $(2, 2\sqrt{3})$ B_2 충돌 후 속도 $(6, -2\sqrt{3})$
 B_1 의 충격량 $J = (6m_1, 2\sqrt{3}m_1)$ B_2 의 충격량 $= -J = (-6m_2, -2\sqrt{3}m_2) = P_2'$
- 한 장면에 m 개의 움직이는 물체와 n 개의 고정된 물체가 있다. 얼마나 많은 쌍에 대해 충돌 검사를 수행해야 하는가?
 움직이는 물체끼리 충돌가능. 움직이고 고정된 물체 충돌가능

$$mC_2 + mn = \frac{m(m-1)}{2} + mn$$
- 그림 12.13에서 p 와 q 가 계산되면 이들이 실제로 삼각형의 내부에 위치하는지 여부를 가리기 위해 후처리를 해야 한다.
 - p 또는 q 가 삼각형의 내부에 있는지 어떻게 검사할 것인가?
 - p 가 삼각형의 내부에 있고 q 가 외부에 있을 때 접촉점을 어떻게 구할 수 있는가?
 - p 와 q 가 모두 삼각형 바깥에 있을 때 이들을 연결한 선분은 삼각형과 교차할 수도 있고 교차하지 않을 수도 있다. 이 두 경우를 어떻게 구분할 수 있는가?